

Entrée et sortie: Système Offset Reflective ORS18a

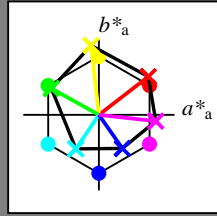
Données de couleurs périphériques (d)
ou élémentaires (e):

HIC*_

code de teinte pour les cou-
leurs de cette page:

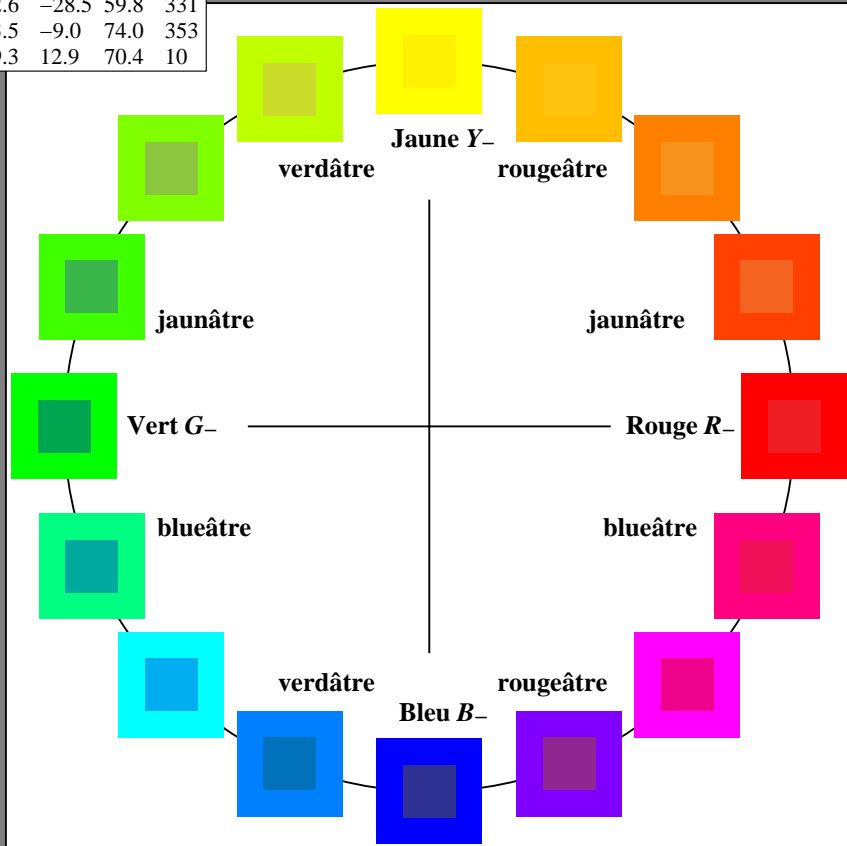
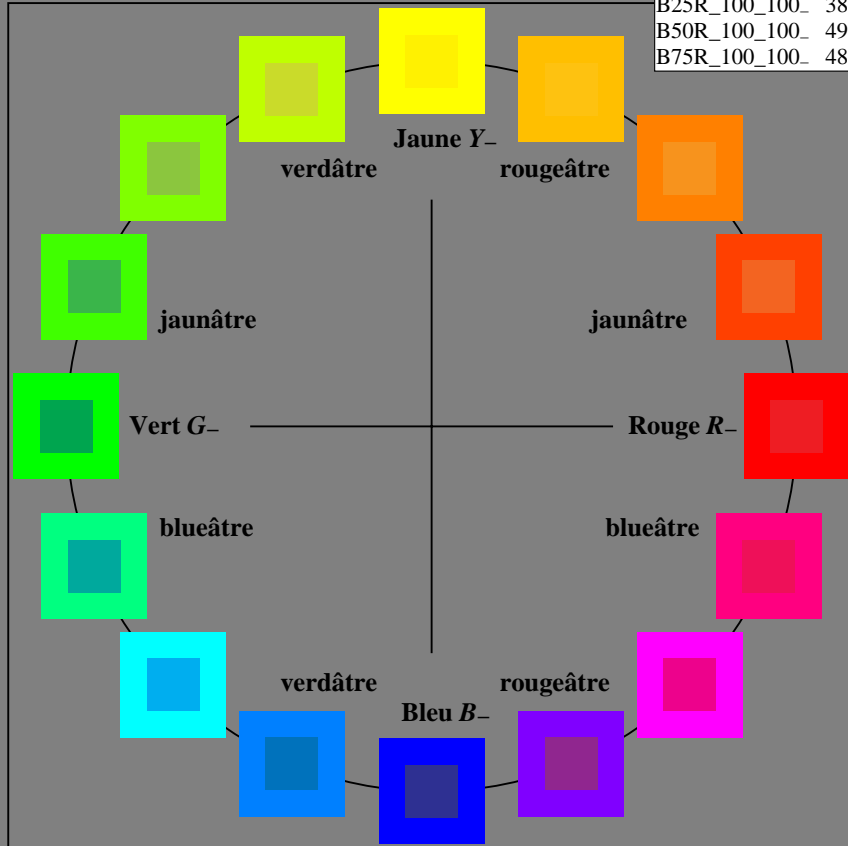
H*_ = R00Y_, R25Y_, ..., B75R_

ORS20a; données CIELAB (a) adaptées					
H^*_-	$L^*=L^*_a$	a^*_a	b^*_a	$C^*_{ab,a}$	$h^*_{ab,a}$
R00Y_100_100_	48.4	66.1	40.2	77.3	31
R25Y_100_100_	56.8	48.0	50.5	69.6	46
R50Y_100_100_	68.6	25.0	63.9	68.6	68
R75Y_100_100_	80.6	4.8	77.2	77.3	86
Y00G_100_100_	90.2	-9.6	88.2	88.7	96
Y25G_100_100_	83.2	-18.4	79.9	81.9	102
Y50G_100_100_	73.3	-31.7	62.7	70.2	116
Y75G_100_100_	62.0	-49.7	43.2	65.8	139
G00B_100_100_	55.8	-65.2	33.8	73.4	152
G25B_100_100_	59.3	-50.3	-9.0	51.0	190
G50B_100_100_	63.0	-30.5	-42.0	51.9	234
G75B_100_100_	45.7	-5.7	-44.6	44.9	262
B00R_100_100_	27.5	25.9	-47.3	53.9	298
B25R_100_100_	38.3	52.6	-28.5	59.8	331
B50R_100_100_	49.5	73.5	-9.0	74.0	353
B75R_100_100_	48.9	69.3	12.9	70.4	10



%Gamme
u*_rel = 92
%Régularité
g*_H,rel = 57
g*_C,rel = 58

ORS18a; données CIELAB (a) adaptées					
nom	L^*_a	a^*_a	b^*_a	$C^*_{ab,a}$	$h^*_{ab,a}$
R _{.,Ma}	47.9	65.3	50.5	82.6	37
Y _{.,Ma}	90.3	-10.2	91.7	92.3	96
G _{.,Ma}	50.9	-62.8	34.9	71.9	150
C _{.,Ma}	58.6	-30.3	-45.0	54.2	236
B _{.,Ma}	25.7	31.0	-44.4	54.2	305
M _{.,Ma}	48.1	75.2	-8.3	75.7	353
N _{.,Ma}	18.0	0.0	0.0	0.0	0
W _{.,Ma}	95.4	0.0	0.0	0.0	0
R _{.,CIE}	39.9	58.7	27.9	65.0	25
Y _{.,CIE}	81.2	-2.8	71.5	71.6	92
G _{.,CIE}	52.2	-42.4	13.6	44.5	162
B _{.,CIE}	30.5	1.4	-46.4	46.4	271



3-103030-L0 PF800-7N

graphique TUB-PF80; cercle de teinte, 16 étapes
graphique conforme à DIN 33872, 3D=1, de=0, sRGB*

entrée : rgb/cmyk -> rgb/cmyk
sortie : aucun changement

voir fichiers similaires: http://130.149.60.45/~farbmetrik/PF80/PF80.HTM
informations techniques: http://www.ps.bam.de ou http://130.149.60.45/~farbmetrik

TUB enregistrement: 20130201-PF80/PF80L0FP.PDF /.PS
application pour la mesure de sortie sur écran
TUB matériel: code=rh4ta

Entrée et sortie: Système Télévision Lumicie TLS00a

Données de couleurs périphériques (d)
ou élémentaires (e):

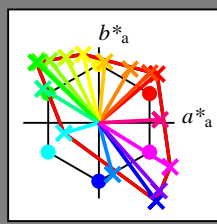
HIC^*_d

code de teinte pour les cou-
leurs de cette page:

$H^*_d = R00Y_d, R25Y_d, ..., B75R_d$

TLS00a; données CIELAB (a) adaptées

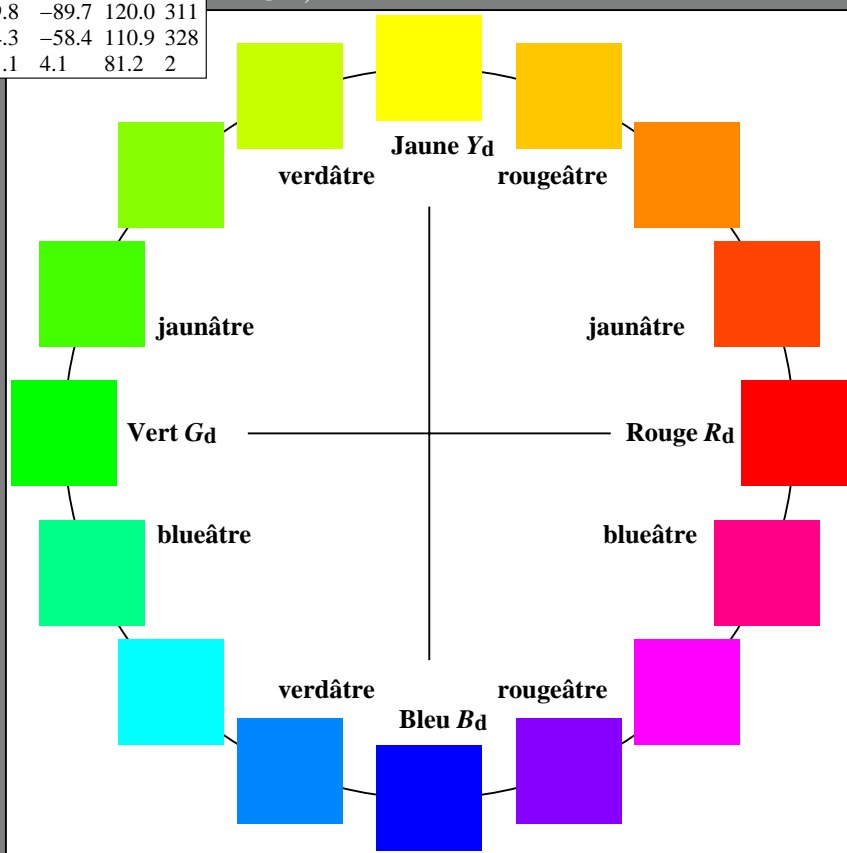
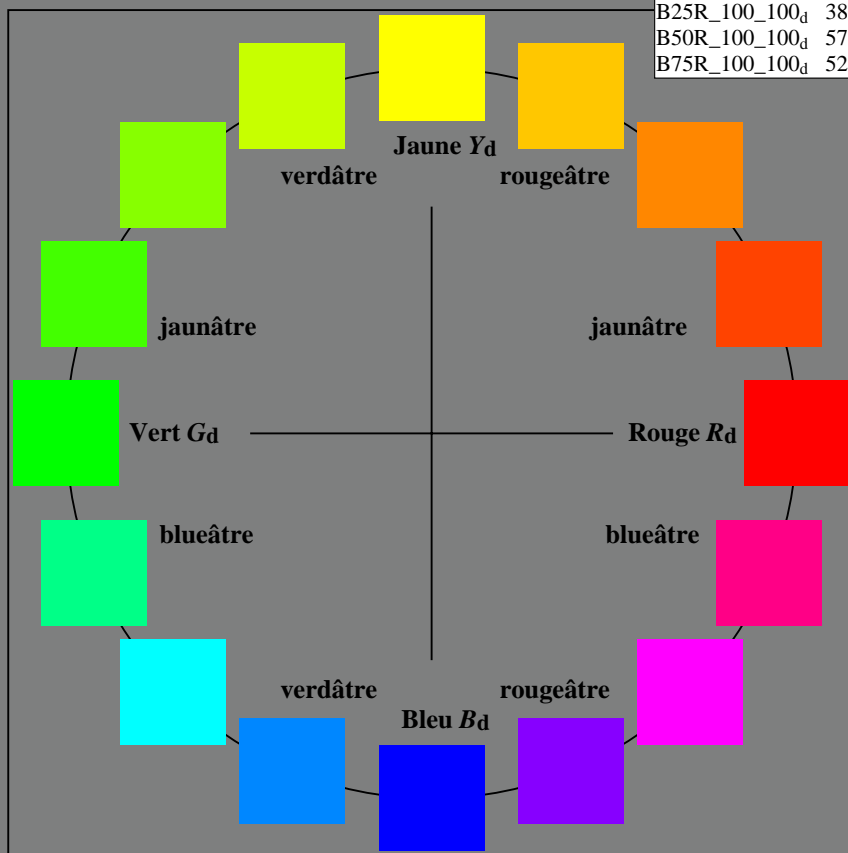
H^*_d	$L^*=L^*_a a^*_a$	b^*_a	$C^*_{ab,a}$	$h^*_{ab,a}$
R00Y_100_100_d	50.4	76.9	64.5	100.4
R25Y_100_100_d	53.7	67.6	65.8	94.4
R50Y_100_100_d	63.6	41.3	71.0	82.2
R75Y_100_100_d	78.2	7.8	80.6	81.0
Y00G_100_100_d	92.6	-20.7	90.7	93.0
Y25G_100_100_d	88.7	-43.3	86.2	96.5
Y50G_100_100_d	85.7	-65.2	82.4	105.1
Y75G_100_100_d	84.0	-78.7	80.4	112.5
G00B_100_100_d	83.6	-82.7	79.8	115.0
G25B_100_100_d	84.3	-73.7	44.9	86.4
G50B_100_100_d	86.8	-46.1	-13.5	48.1
G75B_100_100_d	51.7	18.3	-68.3	70.7
B00R_100_100_d	30.3	76.0	-103.5	128.5
B25R_100_100_d	38.5	79.8	-89.7	120.0
B50R_100_100_d	57.2	94.3	-58.4	110.9
B75R_100_100_d	52.0	81.1	4.1	81.2



%Gamme
 $u^*_{rel} = 158$
%Régularité
 $g^*_{H,rel} = 19$
 $g^*_{C,rel} = 37$

TLS00a; données CIELAB (a) adaptées

nom	$L^*=L^*_a a^*_a$	b^*_a	$C^*_{ab,a}$	$h^*_{ab,a}$
R _{d, Ma}	50.4	76.9	64.5	100.4
Y _{d, Ma}	92.6	-20.7	90.7	93.0
G _{d, Ma}	83.6	-82.7	79.8	115.0
C _{d, Ma}	86.8	-46.1	-13.5	48.1
B _{d, Ma}	30.3	76.0	-103.5	128.5
M _{d, Ma}	57.2	94.3	-58.4	110.9
N _{d, Ma}	0.0	0.0	0.0	0
W _{d, Ma}	95.4	0.0	0.0	0
R _{d, CIE}	39.9	58.7	27.9	65.0
Y _{d, CIE}	81.2	-2.8	71.5	71.6
G _{d, CIE}	52.2	-42.4	13.6	44.5
B _{d, CIE}	30.5	1.4	-46.4	46.4



3-103130-L0 PF800-72

graphique TUB-PF80; cercle de teinte, 16 étapes
graphique conforme à DIN 33872, 3D=1, de=0, sRGB*

entrée : rgb/cmyk -> rgb_{dd}
sortie : linéarisation 3D selon rgb^{*}_{dd}

voir fichiers similaires: <http://130.149.60.45/~farbmetrik/PF80/PF80L0FP.PDF> /PS
informations techniques: <http://www.ps.bam.de> ou <http://130.149.60.45/~farbmetrik>

TUB enregistrement: 20130201-PF80/PF80L0FP.PDF /.PS
application pour la mesure de sortie sur écran, aucune séparation
TUB matériel: code=rh4ta

Entrée et sortie: Système Offset Reflective ORS18a

Données de couleurs périphériques (d)
ou élémentaires (e):

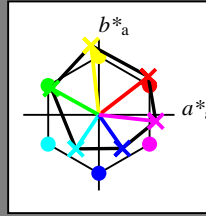
HIC^*

code de teinte pour les cou-
leurs de cette page:

$H^*_ = R00Y_ , R25Y_ , ..., B75R_$

ORS20a; données CIELAB (a) adaptées

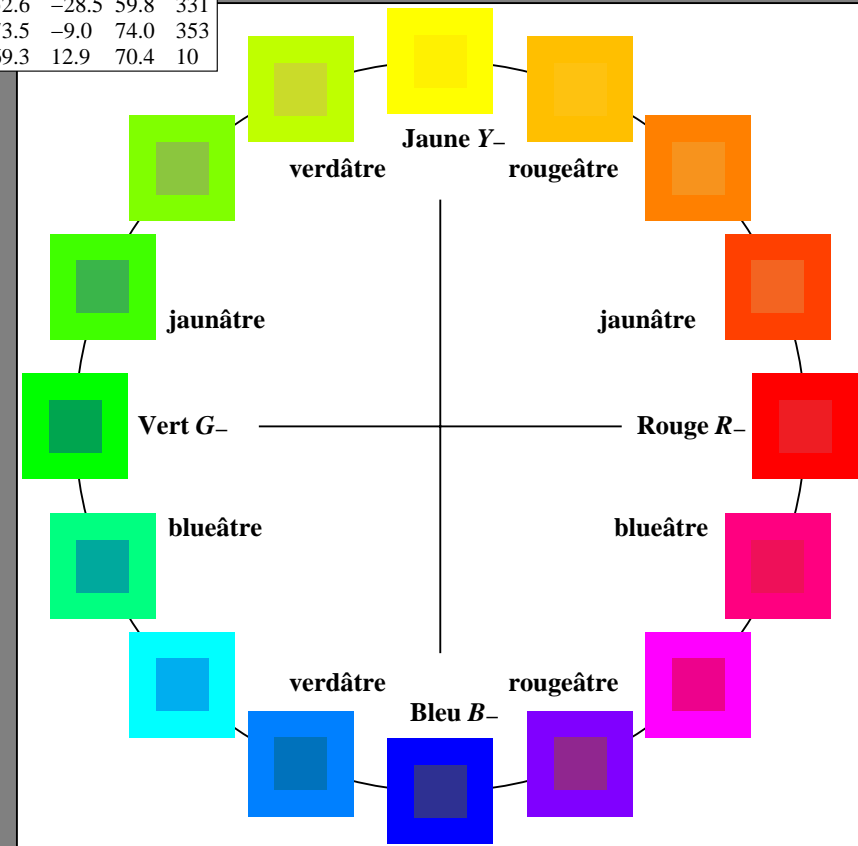
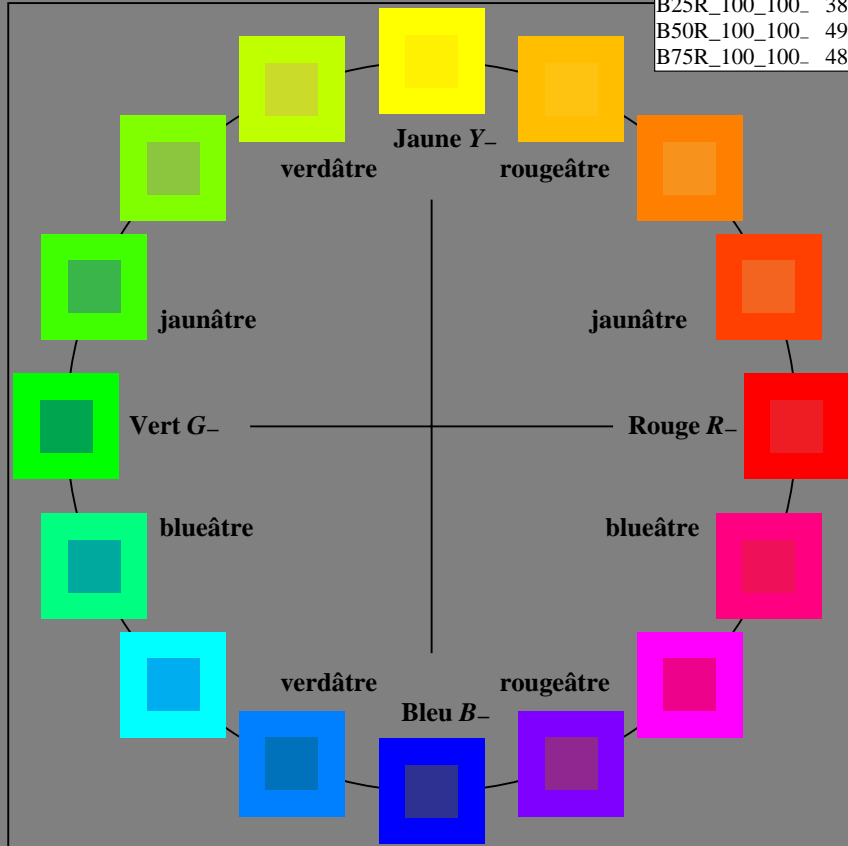
$H^*_$	$L^*=L^*_a a^*_a$	b^*_a	$C^*_{ab,a}$	$h^*_{ab,a}$
R00Y_100_100_	48.4	66.1	40.2	77.3
R25Y_100_100_	56.8	48.0	50.5	69.6
R50Y_100_100_	68.6	25.0	63.9	68.6
R75Y_100_100_	80.6	4.8	77.2	77.3
Y00G_100_100_	90.2	-9.6	88.2	88.7
Y25G_100_100_	83.2	-18.4	79.9	81.9
Y50G_100_100_	73.3	-31.7	62.7	70.2
Y75G_100_100_	62.0	-49.7	43.2	65.8
G00B_100_100_	55.8	-65.2	33.8	73.4
G25B_100_100_	59.3	-50.3	-9.0	51.0
G50B_100_100_	63.0	-30.5	-42.0	51.9
G75B_100_100_	45.7	-5.7	-44.6	44.9
B00R_100_100_	27.5	25.9	-47.3	53.9
B25R_100_100_	38.3	52.6	-28.5	59.8
B50R_100_100_	49.5	73.5	-9.0	74.0
B75R_100_100_	48.9	69.3	12.9	70.4



%Gamme
 $u^*_{rel} = 92$
%Régularité
 $g^*_{H,rel} = 57$
 $g^*_{C,rel} = 58$

ORS18a; données CIELAB (a) adaptées

nom	$L^*=L^*_a a^*_a$	b^*_a	$C^*_{ab,a}$	$h^*_{ab,a}$
R_.,Ma	47.9	65.3	50.5	82.6
Y_.,Ma	90.3	-10.2	91.7	92.3
G_.,Ma	50.9	-62.8	34.9	71.9
C_.,Ma	58.6	-30.3	-45.0	54.2
B_.,Ma	25.7	31.0	-44.4	54.2
M_.,Ma	48.1	75.2	-8.3	75.7
N_.,Ma	18.0	0.0	0.0	0.0
W_.,Ma	95.4	0.0	0.0	0.0
R_.,CIE	39.9	58.7	27.9	65.0
Y_.,CIE	81.2	-2.8	71.5	71.6
G_.,CIE	52.2	-42.4	13.6	44.5
B_.,CIE	30.5	1.4	-46.4	46.4



3-113030-L0 PF800-7N

graphique TUB-PF80; cercle de teinte, 16 étapes
graphique conforme à DIN 33872, 3D=1, de=1, $sRGB^*$

entrée : $rgb/cmyk \rightarrow rgb/cmyk$
sortie : aucun changement

voir fichiers similaires: <http://130.149.60.45/~farbmetrik/PF80/PF80L0FP.PDF> /PS
informations techniques: <http://www.ps.bam.de> ou <http://130.149.60.45/~farbmetrik>

TUB enregistrement: 20130201-PF80/PF80L0FP.PDF /.PS
application pour la mesure de sortie sur écran

TUB matériel: code=rh4ta

Entrée et sortie: Système Télévision Lumicie TLS00a

Données de couleurs périphériques (d)
ou élémentaires (e):

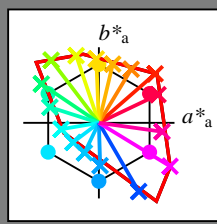
HIC^*_e

code de teinte pour les cou-
leurs de cette page:

$H^*_e = R00Y_e, R25Y_e, ..., B75R_e$

TLS00a; données CIELAB (a) adaptées

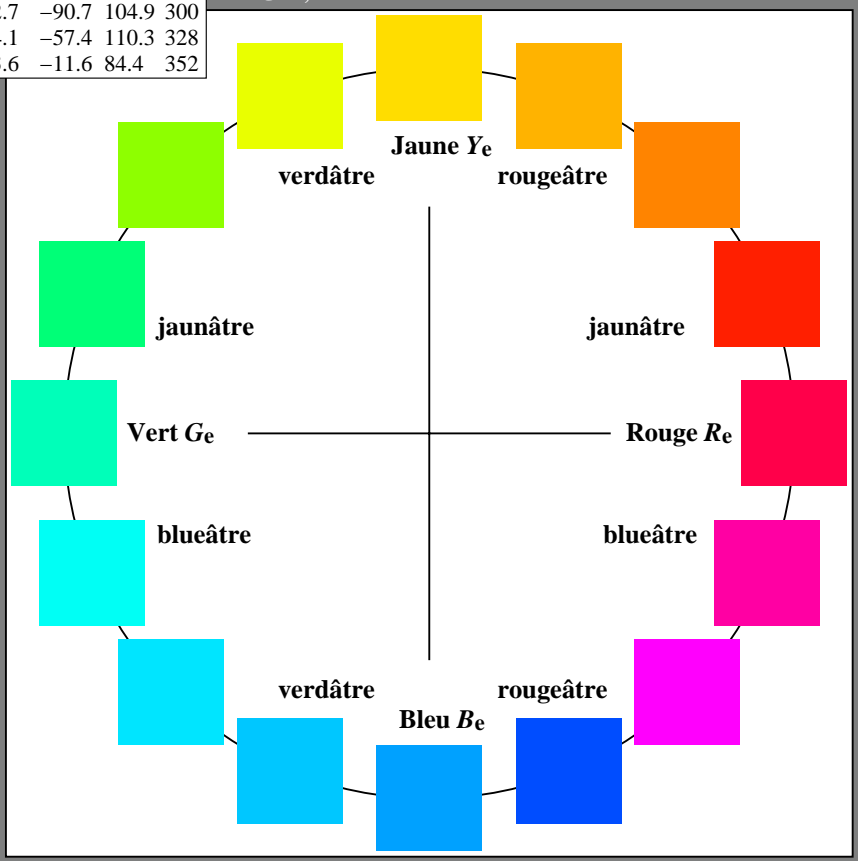
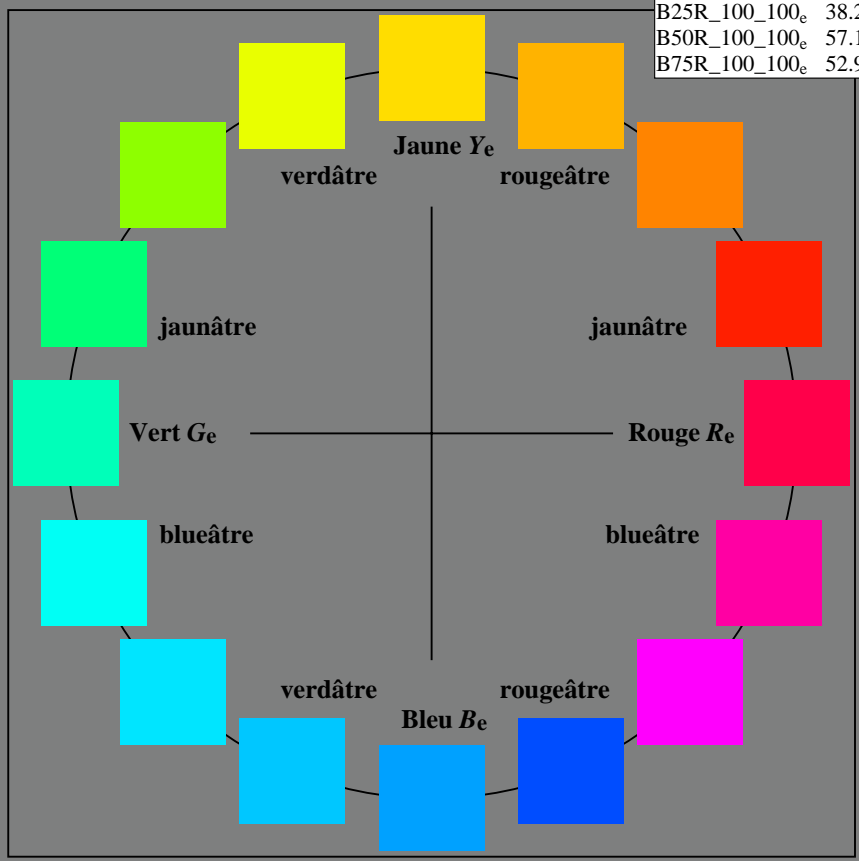
H^*_e	$L^*=L^*_a a^*_a$	b^*_a	$C^*_{ab,a}$	$h^*_{ab,a}$
R00Y_100_100_e	50.9	78.3	37.3	86.7
R25Y_100_100_e	51.3	74.4	64.8	98.7
R50Y_100_100_e	63.1	42.7	70.8	82.7
R75Y_100_100_e	73.5	18.3	77.7	79.8
Y00G_100_100_e	83.7	-3.4	84.5	84.5
Y25G_100_100_e	91.0	-29.9	88.9	93.8
Y50G_100_100_e	85.9	-63.0	82.8	104.1
Y75G_100_100_e	84.1	-76.0	51.4	91.8
G00B_100_100_e	85.1	-64.6	20.7	67.9
G25B_100_100_e	86.5	-49.9	-8.4	50.6
G50B_100_100_e	79.0	-34.2	-25.7	42.8
G75B_100_100_e	70.0	-19.0	-39.6	43.9
B00R_100_100_e	59.2	1.7	-56.6	56.6
B25R_100_100_e	38.2	52.7	-90.7	104.9
B50R_100_100_e	57.1	94.1	-57.4	110.3
B75R_100_100_e	52.9	83.6	-11.6	84.4



%Gamme
 $u^*_{rel} = 158$
%Régularité
 $g^*_{H,rel} = 19$
 $g^*_{C,rel} = 37$

TLS00a; données CIELAB (a) adaptées

nom	$L^*=L^*_a a^*_a$	b^*_a	$C^*_{ab,a}$	$h^*_{ab,a}$
R_e,Ma	50.9	78.3	37.3	86.7
Y_e,Ma	83.7	-3.4	84.5	84.5
G_e,Ma	85.1	-64.6	20.7	67.9
C_e,Ma	79.0	-34.2	-25.7	42.8
B_e,Ma	59.2	1.7	-56.6	56.6
M_e,Ma	57.1	94.1	-57.4	110.3
N_e,Ma	0.0	0.0	0.0	0.0
W_e,Ma	95.4	0.0	0.0	0.0
R_e,CIE	39.9	58.7	27.9	65.0
Y_e,CIE	81.2	-2.8	71.5	71.6
G_e,CIE	52.2	-42.4	13.6	44.5
B_e,CIE	30.5	1.4	-46.4	46.4



3-113130-L0 PF800-73

graphique TUB-PF80; cercle de teinte, 16 étapes
graphique conforme à DIN 33872, 3D=1, de=1, sRGB*

entrée : rgb/cmyk -> rgb_{de}
sortie : linéarisation 3D selon rgb*_{de}

3-113130-F0

TUB enregistrement: 20130201-PF80/PF80L0FP.PDF /.PS
application pour la mesure de sortie sur écran, aucune séparation
TUB matériel: code=rh4ta